

Using agricultural waste residue (Rice Bran) as a efficient surface in removing colorful water polluters with Fast Green and comparing its adsorption to pure cellulose surface

استخدام بقايا الفضلات الزراعية (نخالة الرز) كسطح كفوء في ازالة ملوثات المياه الملونة بـ (Fast Green) ومقارنته امترازها مع سطح السليلوز النقي.

م.م. زينة شكر الزبيدي

م. نصیر جواد الزرکانی*

قسم علوم الحياة* / كلية العلوم

جامعة الكوفة

م. رفاه محمد الشمري

قسم الكيمياء / كلية العلوم

جامعة الكوفة

الخلاصة :-

درس البحث تنوّع عالي الكفاءة لإزالة سمّية الأصباغ من محاليلها المائيّة لمختلف الصناعات وذلك بأمترازها على سطوح أقل كلفة ومتوفّرة محلياً، بل وتعتبر من الفضلات الزراعية وهي (نخالة الرز) ومقارنتها مع الامتراز على سطح السليلوز النقي. في بحثنا السابق تم إزالة الوان الأصباغ القاعدية الاحمرالمتعادل (N.R) والمثل الازرق (M.B) من محاليلها المائيّة على سطح نخالة الرز فقط وبحثاً آخر تم فيه مقارنة لامتراز صبغة السفرانيل (S.O) على سطح السليلوز النقي ونخالة الرز . في هذا العمل تم مقارنة إزالة لون صبغة الأخضر السريع (Fast Green) على سطح نخالة الرز والسليلوز النقي . اجري الامتراز في أربعة درجات حرارية مختلفة (25,35,45,55) لحساب الدوال الترموديناميكية (ΔH^0 , ΔS^0 , ΔG^0) . لكلا السطحين، وأعيد الامتراز عند ثلاثة درجات حامضية مختلفة (3,7,10) (25C⁰) . عند درجة حرارة ثابتة (3,7,10) (25C⁰) . أظهرت النتائج ان نخالة الرز في سعة امتراز عالية لصبغة الأخضر السريع مقارنة بالسليلوز النقي. كما ودرست ايزوثرمات الامتراز وووجدت مطابقته لمعادلة فرندلش لامتراز (Frendlich) . ومن دراسة تأثير درجة الحرارة في امتراز الصبغة على السطحين وحساب القيم الترموديناميكية ظهر ان كمية الامتراز تقل بزيادة درجة الحرارة أي ان الامتراز ياعت للحرارة (Exothermic) . ويمكن ان نستنتج من نتائج البحث ان عملية امتراز صبغة الأخضر السريع على نخالة الرز والسليلوز النقي قد استعملت عملياً لازالة الصبغة من محلولها المائي.

Abstract:

This work include used simple behaviors to remove organic colors which has low –cost locally available by coreless agriculture remains (Rice bran) and comparative with adsorption on (pure cellulose). In my previous research, two colors of basic dyes (Methylene Blue) (M.B), (Neutral Red) (N.R) were removed from aqueous solution on rice bran surface. In another work we comparing adsorption of(Safranine O) (S.O) in (Rice bran) and (pure cellulose). In this work, comparative study was accrued about colors removal of (Fast Green) dye on rice bran and pure cellulose surface. adsorption process were occurred at different temperatures (25 ,35 ,45 ,55) C° in order to measure the thermodynamic parameters (ΔH^0 , ΔG^0 , ΔS^0). The Adsorption were repeated at different acidity of solution PH= (3, 7, 10) at constant temperature (25) C°. Study results showed good adsorption capacity for rice bran against fast green compare pure cellulose . Adsorption isotherms of fast green dye obeyed (Frindlsh) adsorption isotherms indicating the homogeneity of pure cellulose and rice bran. From the thermodynamic parameter values showed adsorption of pure cellulose and rice bran is exothermic process the adsorption enhanced decrees by increasing Temperature. It can be concluded from the results of the present study that the process of adsorption of fast green dye on pure cellulose and rice bran may be used effectively to remove the dye from aqueous medium.

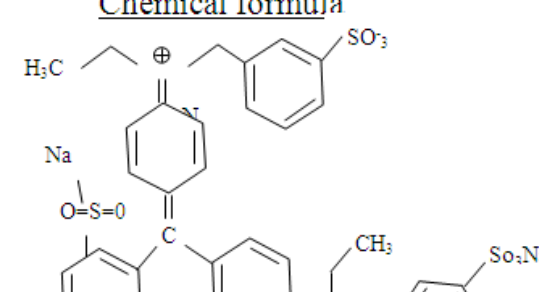
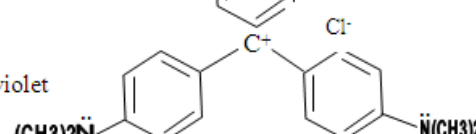
المقدمة واستعراض المراجع Introduction and Literature Review

تعتبر تنقية الفضلات وفضلات المياه من الأصباغ من أهم المشاكل البيئية المتوقعة الموجودة في الوقت الحالي. وان تلوّن مياه الشرب يعزى إلى وجود المركبات العضوية الملوونة بصورة كبيرة او وجود الفضلات الصناعية الملوونة، ويعتبر التلوّن من خصائص فضلات المياه الذي يمكن تحديده بسهولة. بعض الأصباغ تكون مستقرة لاتعاني تحطم في تركيبها لذلك تكون سامة وبالتالي من المهم ازالة هذه الملوثات من فضلات المياه قبل استخدامها النهائي. هناك العديد من الطرق لازالة الملوثات الملوونة

ومنها الاكسدة الضوئية⁽¹⁾ التبادل الايوني ، والتناضخ العكسي. الا ان اهم هذه الطرق وابسطها واكثرها كفاءة امتزاز الملوثات على سطوح مختلفة واقل كلفة⁽²⁾ اذ ان هنالك العديد من المواد تستعمل كمترادات لمحاربة الاصباغ لذا سوف نحصل على تنوع وكفاءة عالية في ازالة سمية الاصباغ من محاليلها المائية لمختلف الصناعات⁽³⁾ تختلف السطوح المازة في قدرتها على ازالة واستخلاص مختلف الاصباغ المختلفة من محاليلها المائية فهي متنوعة وتشمل⁽⁴⁾ Activated carbon , Clays⁽⁵⁾, Silicagel⁽⁵⁾, Chitin, chitosean⁽⁸⁾ وبعض المواد البيولوجية ذات الاصول الحيوانية⁽⁷⁾ Aluminum oxide^(10,9). تعتبر خالة الرز من اوطن السطوح كلفة في العالم فهي مهمة جدا في معالجة فضلات المياه^(12,11) ونخالة الرز من اصناف الالياف النباتية الطبيعية التي تتكون من السيليلوز كمكون اساسي في تركيبها. والسليلوز مادة بيضاء على شكل بوليمر مستقيم غير متباين للبولي سكرييد (polysaccharide)^(14,13) ومما يزيد اهمية السيليلوز الصناعية هو قابليته على الانفصال بالماء فهو يعد من الالياف القطبية المحبة للماء (Hydrophilic)⁽¹⁵⁾ وهذا يقلل الاحتياج الجزيئي فيها.

صبغة الاخضر السريع (Fast Green) من الصبغات الحامضية التي تتحدد مع الجذور القاعدية كجزر الهيدروكسيد وغيره وتحتوي على المجاميع الامينية والاکيلية كما مبين في صيغتها التركيبية التالية وزونها الجزيئي⁽¹⁶⁾ وهي 765.89 g/mol وتعتبر من الصبغات الغذائية المهمة⁽²⁾ ويعمل على تصبيغ البروتينات⁽¹⁶⁾ وهي مهمة جدا بالنسبة للانسجة النباتية حيث يمكن ان تصبغ جميع انسجة النبات كاللکتين والسوبرین والاواعية الخشبية وخاصة السايتوبلازم، وتظهر الاجزاء المصبوغة بها لمعان ولاتفقد الصبغة مطلقاً لستين دقيقة.

تحضر الصبغة قبل عدة ايام من استعمالها ويجب ان تكون مخففة، ويجب عدم ترك النماذج في الصبغة وخاصة المقاطع الواقية اكثر من 30 دقيقة.⁽²⁾

Name	Chemical formula	molar mass g.mol ⁻¹	λ_{max}/nm
Fast green		765.89	638
Crystal violet		407.99	585

في هذا العمل ندرس تنوع المواقع في مادة سيليلوزية غير نقية خالة الرز ومقارنة امتزازها مع موقع السيليلوز النقى كمواد مازه في إزالة صبغة (Fast Green) من محاليلها المائية باعتبارها مترادات منخفضة الكلفة في معالجة فضلات المياه وإزالة لونها الآتي من صبغة النسيج أو الصناعات الأخرى.

المواد وطرائق العمل Materials and Methods

A- عمليات الامتزاز : Adsorption process

بالنسبة لمادة السطح خالة الرز (Oryza sativa L.) Rice bran التجارية تم الحصول عليها من الأسواق المحلية حيث تم تنظيفها بغسلها عدة مرات بالماء المقطر وجففت بدرجة 50 ولمدة ساعتين في فرن كهربائي وطحنت جيداً بشكل مسحوق وجهزت للعمل، إما السيليلوز فقد تم تجهيزه بشكله النقى. ثم أخذ 10g من ثمانية تراكيز مختلفة من صبغة الاخضر السريع وهي 5,10,15,20,25,30,35,40 mg/g () وتم مزجها ورجها مع 0.1g من خالة الرز الجافة والسليلوز النقى ودرجة حرارة ثابتة 40°C ومحدة في جهاز الحمام المائي الهزاز المسيطر على درجة حرارته ولمدة 60 دقيقة كزمن اتزان تم تحديده بأخذ الترکیز المتوسط من التراکیز مع 0.1g من السطح وفترات زمنية مختلفة لمعرفة زمن الاتزان وبعد انتهاء الزمن عرضت المحاليل لجهاز الطرد المركزي سرعته 3000 xg ولمدة 10 دقائق لفصل السطح عن الصبغة. ثم قيست حامضية المحاليل باستعمال محاليل دارئة قياسية حضرت بإذابة 0.077g من ملح خلات الامونيوم في لتر ماء مقطر (M 0.001) بإضافة قطرات من حامض الخليك للـ PH = 3 = الامونيا المركزية PH = 10 ومن ثم قياس PH المحلول باستعمال جهاز PH. meter وقد قيست الامتصاصية للمحاليل والطول الموجي max λ = 640 nm لها PH = 7 أما في λ max = 630 nm.

في $\text{PH} = \text{max} = 630$ باستعمال جهاز Uv.visible spectrum (Apple). أما لاستخراج منحنى المعايرة تم قياس الامتصاصية للتراكيز قبل الامتراز ومنها رسم منحنى المعايرة عند $\text{PH} = 7$ كما في الشكل (1) وأعيدت عملية الامتراز في درجات حرارية مختلفة هي (55,45,35,25) لأجل قياس الدوال الترمودينميكية $(\Delta H^\circ, \Delta G^\circ, \Delta S^\circ)$

B- حساب ايزوثيرم الامتراز : Adsorption Isotherms Calculations

إن المصطلح ايزوثيرم الامتراز يشير إلى العلاقة مابين كمية الامتراز Q_e أو mg/m^2 مع تركيز الاتزان للمادة الممتزرة وهو C_e عندما درجة حرارة ثابتة. قيمة (X) تعنى كمية الصبغة الممتزرة بالملغرام بواسطة (m) غرام من السطح الماء⁽¹⁷⁾. وهناك معادلتان تعتمد على توضيح ايزوثيرم الامتراز الأولى ايزوثيرم لانكمائر لامتراز وهو يكون على شكل خط مستقيم من معادلة لانكمائر

$$\frac{C_e}{Q_e} = \frac{1}{ab} + \frac{C_e}{a} \quad \dots \dots \dots (1)$$

حيث (a) تعبّر عن مقدار سعة الامتراز المحددة عملياً عندما يتغطى السطح بالمادة الممتزرة إذ يكون الامتراز أحادي الطبقة، أما الثابت (b) فهو مقدار ثابت التوازن للامتراز ويعبر عن موقع الارتباط⁽¹⁸⁾ أما المعادلة الثانية فهي معادلة فرندلش للامتراز تشير هذه المعادلة إلى إن عملية الامتراز في محلول في حالة السطوح الغير متاجسة تكون أكثر استجابة لهذه المعادلة مقارنة بمعادلة لانكمائر⁽¹⁹⁾ ويكون الامتراز أكثر من طبقة أي متعدد الطبقات (multilayer) وصيغة معادلة فرندلش الخطية هي:

$$\log Q_e = \log k + \frac{1}{n} \log C_e \quad \dots \dots \dots (2)$$

و(k) و(n) هي ثوابت فرندلش والتي تعبر عن خواص النظام إذ تمثل (k) سعة الامتراز ، و(n) مقدار كثافة وشدة الامتراز (21^{و22}). جدول (2)

C- ترمودينميك الامتراز : Adsorption Thermodynamics

لكي نحصل على الدوال الترمودينميكية لعمليات الامتراز نعاد تجارب الامتراز في درجات حرارية مختلفة (25,35,45,55) وتقياس الدوال الترمودينميكية منها ($\Delta H^\circ, \Delta G^\circ, \Delta S^\circ$). أن ثابت الاتزان (K) في عملية الامتراز في كل درجات الحرارة يحسب من تقسيم كمية الصبغة الممتزرة على سطح خالة الرز أو السيليلوز النقي على كمية باقي الصبغة في محلول :

$$K = \frac{Q_e \times 0.1g}{C_e \times 0.01L} \quad \dots \dots \dots (3)$$

حيث إن: 0.1 g تشير إلى وزن السطح (نخالة الرز أو السيليلوز النقي) المستعمل في الدراسة. أما (0.01 L) تمثل حجم محلول الصبغة المستعمل في عمليات الامتراز .

أما مقدار التغيير في الطاقة الحرارة ΔG° فيمكن حسابه من المعادلة التالية :

$$\Delta G^\circ = -RT \ln K \quad \dots \dots \dots (4)$$

إذ ان (R) هي الثابت العام للغازات وقيمه $8.314 \text{ J.mole}^{-1}.\text{K}^{-1}$ و (T) هي درجة الحرارة المطلقة .

أما حرارة الامتراز فتحسب من معادلة فانت هوف : vant Hoff's equation

$$\ln K = \frac{-\Delta H^\circ}{RT} + \text{constant} \quad \dots \dots \dots (5)$$

حيث (K) هي ثابت التوازن، ورسم (Ln X_m) مقابل (1/T) نستخرج قيم انتالبي عمليات الامتراز ΔH° من ميل الرسم إذ إن

$$\frac{-\Delta H^\circ}{R} = \text{Slope}$$

أما التغيير في الانتروري العشوائية ΔS° فيحسب من علاقة كبس Gibbs equation

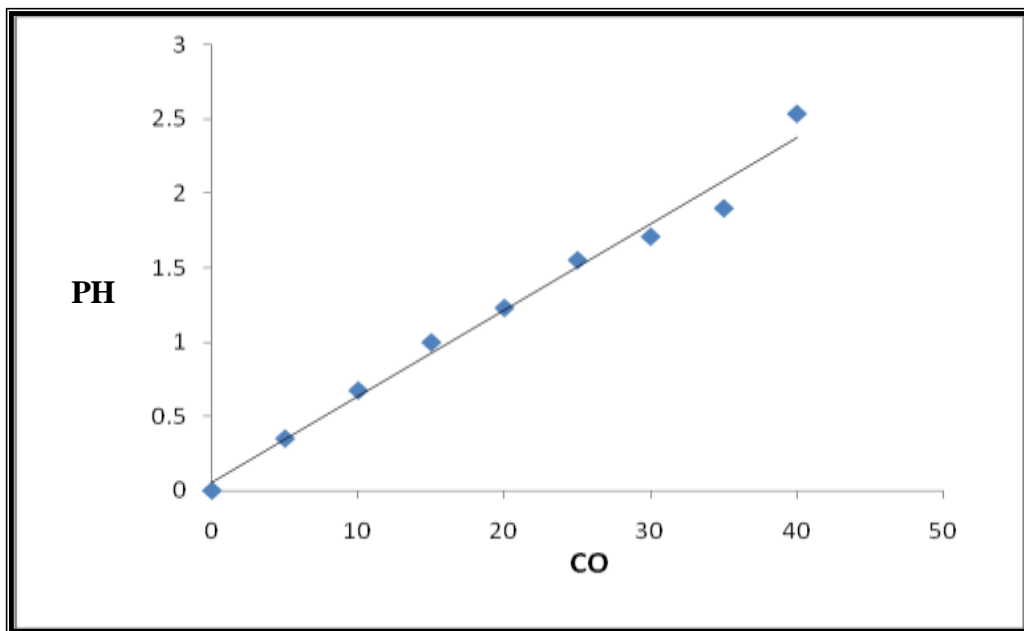
$$\Delta G^\circ = \Delta H^\circ - T\Delta S^\circ \quad \dots \dots \dots (6)$$

النتائج والمناقشة Results and Discussion

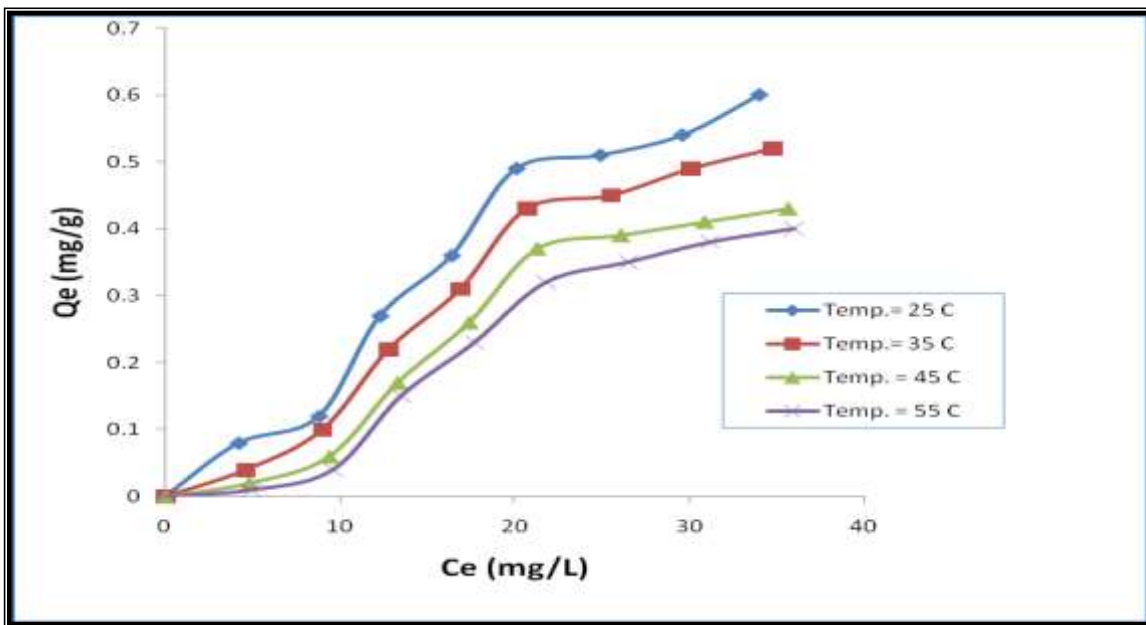
بعد رسم منحنينات المعايرة للصبغة وفي دوال حامضية مختلفة (PH = 3,7,10) ، تم الحصول منها على تركيز الاتزان C_e (mg/l) ومنه استخرجت قيم كمية الامتراز على السطحين ظهر لنا ايزوثيرم الامتراز لصبغة الاخضر السريع على سطح نخالة الرز والسيليلوز النقي كما مبين في الشكلين (2و3). ونلاحظ أن الامتراز يتبع ايزوثيرم فرندلش للامتراز (Frendlich)

($\log Qe = \log K_f + \frac{1}{n} \log Ce$) فقط وبرسم قيمة ($\log Qe$) ضد ($\log Ce$) نحصل على مستقيم فرنلش له ميل $n=1$ وتقاطع بمقدار (K_f) كما في الشكلين (4و5). إذ إن قيم ثوابت فرنلش توضح لنا العديد من الحقائق حيث تمثل قيمة (n) مقدار شدة الامتزاز Adsorption Intensity أو موقع الارتباط لأربع درجات حرارية مختلفة، أما قيمة (K_f) تمثل مقدار سعة الامتزاز Adsorption capacity (جدول 1). إن النتائج تشير إلى إن سعة الامتزاز وكثافة الامتزاز تقل بارتفاع درجات الحرارة على سطح السيليوز النقي ومضطربة على خالة الرز وهذا يوضح تنوع ايزوثيرمات الامتزاز للأصباغ المختلفة على سطح خالة الرز، وعلى الرغم من أن العديد من الدراسات (9,23,25) التي تشير إلى إن الامتزاز على خالة الرز وبمحاذيف الماء يوضح إن السطح غير متجانس من سطح خالة الرز يحتوي على موقع امتراز فعالة ومتعدة تعود للسيلوز الذي يتكون منه إضافة إلى مواد أخرى كالسوبرين واللكتين (هو بوليمر متعدد حلقات الفينول) والكابيتين وغيرها من المواد تتشابه بتركيب الصبغة ومجاميعها الفعالة أما سطح السيليوز النقي فقد أشارت العديد من الدراسات أنه سطح مسامي متجانس (14,28,29) وهذا ما تؤكد دراستنا الحالية حيث أن امتراز صبغة الأخضر السريع على سطح السيليوز النقي يخضع لمعادلة فرنلش للامتزاز ويميل إلى معادلة لانكمairy. يتضح أن خالة الرز والسيلوز الطبيعي هي من الممتازات الفعالة جداً لأغلب المواد باعتبارها مواد طبيعية وهي أكثر فعالة من الكربون المنشط والأطياف في إزالة المركبات العضوية من البيئة الملوثة لها (30).

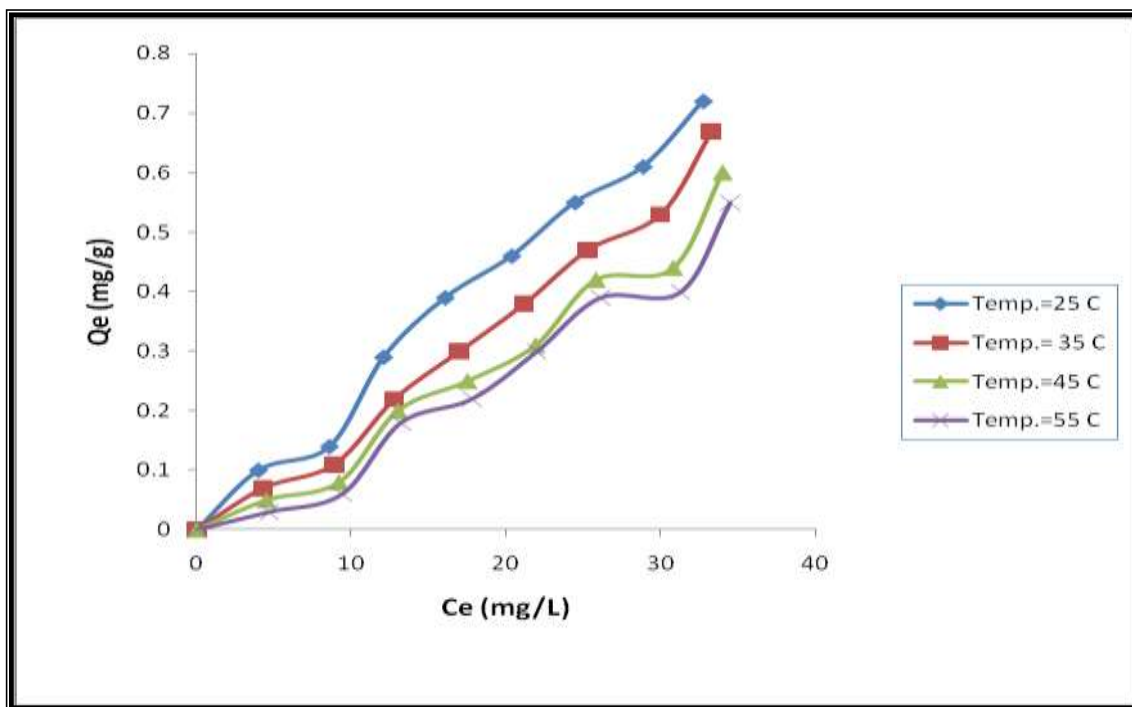
وبالاعتماد على تصنيف جيلز Gilles (31) لأشكال ايزوثيرمات الامتزاز يتضح أن امتراز صبغة الأخضر السريع عن سطح خالة الرز يتبع الصنف S3 وهذا ما يعطي السطح صفة عدم التجانس لتنوع القوى الرابطة بين جزيئات الصبغة وموقع السطح الفعالة وهذا يشير إلى إن امتراز السطح للصبغة يبدأ بسطح غير متجانس ثم تليه طبقه أخرى متجانسة تخضع لمعادلة لانكمairy. أما ايزوثيرم امتراز الصبغة على سطح السيليوز النقي يتبع الصنف (S4) وهذا ما يطبق أساسيات فرنلش للصنف S. إذ وبين أن الجزيئات الممتدة فيه تمثل إلى التردد في صفوف أو عناقيد تكون بشكل عمودي أو مائل على السطح وهذا ما يؤكده شكل الايزوثيرمات حيث يزداد الامتزاز كلما يزداد تركيز الاتزان (32).



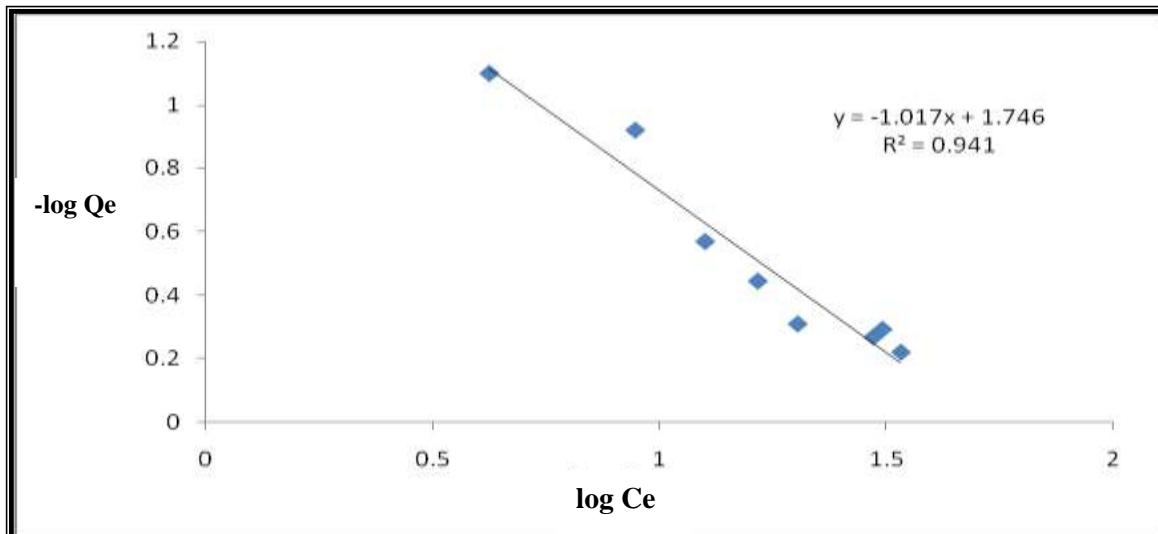
شكل (1) منحني المعايرة لصبغة الأخضر السريع عند درجة حرارة (298K) و $\text{PH}=7$



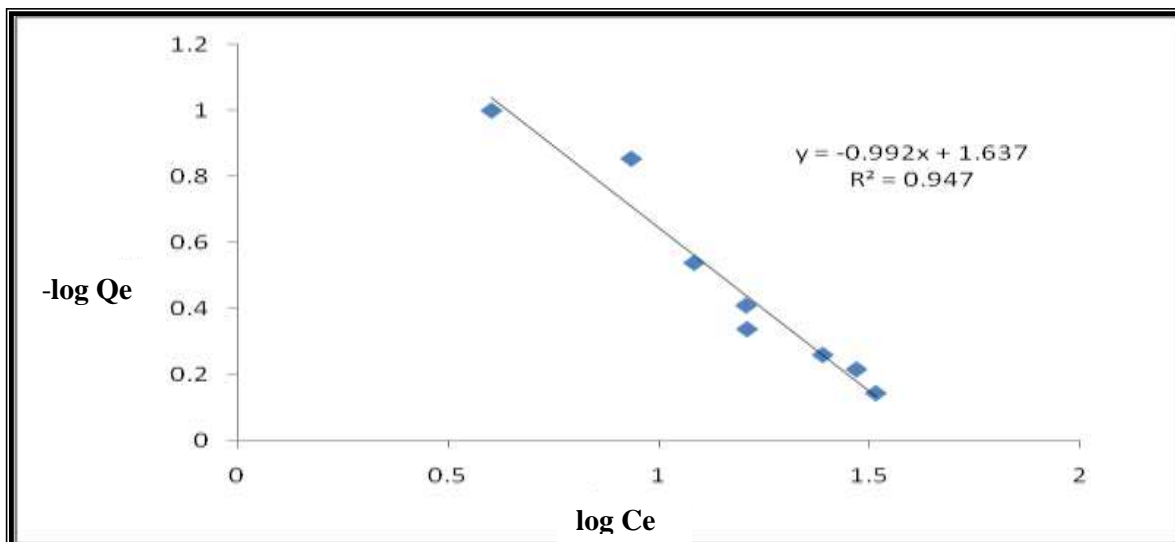
شكل (2) ايزوثيرمات امتصاص صبغة (Fast Green) على سطح السيليلوز النقي عند درجات حرارية مختلفة و $\text{PH}=7$



شكل (3) ايزوثيرمات امتصاص صبغة (Fast Green) على سطح خالدة الرز عند درجات حرارية مختلفة و $\text{PH}=7$.



شكل (4) مستقيمات فرنديش لامتراز صبغة Fast Green على سطح السيليلوز النقي عند درجة (298 K) و $pH=7$.



شكل (5) مستقيمات فرنديش لامتراز صبغة Fast Green على سطح خالة الرز عند درجة (298 K) و $pH=7$.

جدول (1) قيم ثوابت فرنديش n, K_f لامتراز صبغة الاخضر السريع على سطح السيليلوز النقي ونخالة الرز عند درجة حرارة 298K و $pH=7$.

		السيليلوز النقي		نخالة الرز	
T	n	Kf	n	Kf	
298	0.983	0.0179	1.0081	0.0231	

والحصول على القيم الترموديناميكية لامتراز ترسم قيمة $(\ln K_f)$ أو $(\ln X_m)$ (McLaren 1/1) من معادلة فانت هوف Hoff's equation ولكل السطحين ، الشكل (6 و 7) فنحصل على قيم الدوال الترموديناميكية

جدول (2) قيم الدوال الترموديناميكية لصبغة الاخضر السريع على سطحي السيليلوز ونخالة الرز

Cellulose			Rice bran		
ΔH° KJ.mol ⁻¹	ΔG° KJ.mol ⁻¹	ΔS° J.mol ⁻¹ .K ⁻¹	ΔH° KJ.mol ⁻¹	ΔG° KJ.mol ⁻¹	ΔS° J.mol ⁻¹ .K ⁻¹
-11.767	+5.749	-58.777	-14.5046	+5.1331	-65.898

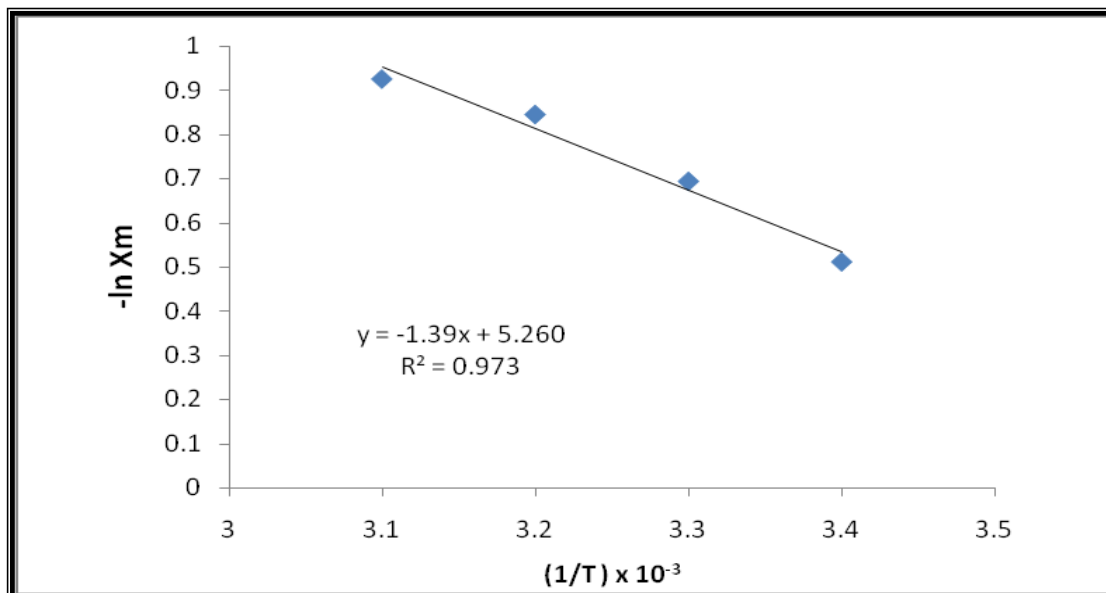
إن قيم تغيير الطاقة الحرية ΔG° و الانتربي ΔS° تفاص بدرجة 298 K

تبين قيم حرارة الامتراز السالبة على سطح نخالة الرز والسيليلوز النقي (- ΔH°) إن عملية الامتراز باعثة للحرارة (exothermic presses)⁽³³⁻³⁵⁾، وهي قليلة نوعاً ما تقع ضمن حرارة الامتراز الفيزيائي أي إن كمية الامتراز تقل بزيادة درجات الحرارة، وقد يعزى هذا السلوك إلى انخفاض الفعل المتبادل بين الجزيئات الممتززة والسطح الماز مع ازدياد درجة الحرارة نتيجة لانفصال الروابط بين السطح الماز والجزيئات^(20,34,36).

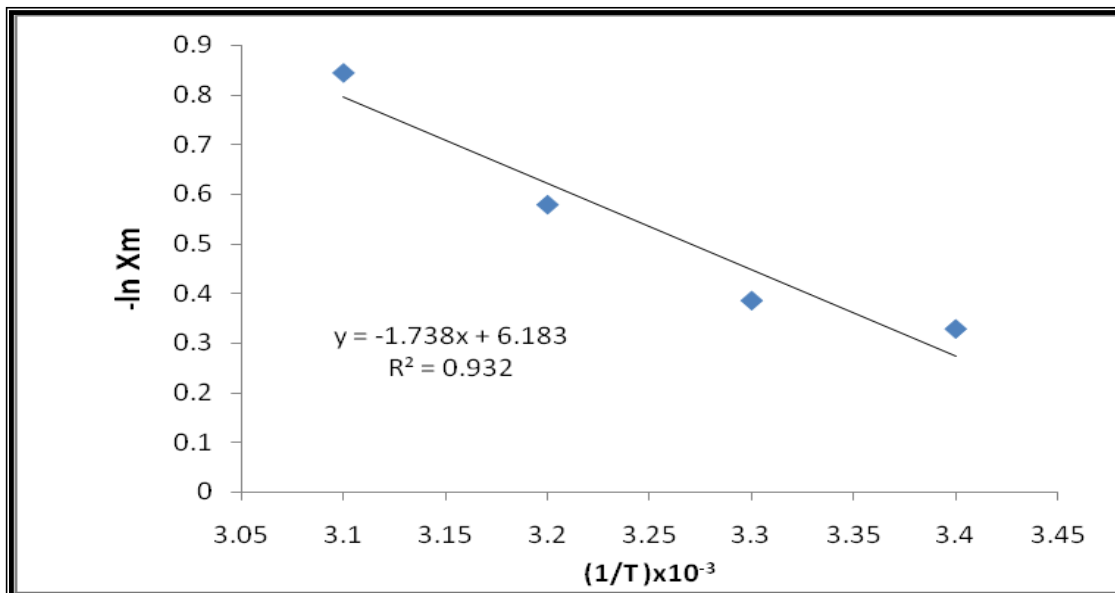
إما قيم (ΔG°) الموجبة تشير إلى إن الامتراز غير تلقائي (nonspontaneous) دليل على حاجة الامتراز للطاقة العالية وقيم (ΔS°) السالبة والكبيرة تشير إلى إن الامتراز أكثر انتظاماً والجزيئات الممتززة تتنظم على السطح نتيجة ارتباطها به حيث تفضل الصبغة الامتراز على السطح من البقاء في المحلول⁽³⁴⁾.

جدول (3) يمثل قيم (In) و (1/T) لاصبغة الأخضر السريع الممتززة على سطح السيليلوز النقي ونخالة الرز ضمن المدى الحراري التجريبي (328-298) مطلقة.

Adsorbat	T(K)	$(1/T) \times 10^{-3}$	نخالة الرز		السيليلوز	
			Xm (mg/g)	Ln (Xm)	Xm (mg/g)	Ln (Xm)
			Ce=33 mg/L		Ce=34 mg/L	
Fast Green	298	3.4	0.72	-0.329	0.6	-0.511
	308	3.3	0.68	-0.386	0.5	-0.693
	318	3.2	0.56	-0.579	0.43	-0.844
	328	3.1	0.43	-0.844	0.397	-0.924



شكل (6) يمثل قيم (lnXm) مقابل (1/T) لامتراز صبغة الأخضر السريع على سطح السيليلوز النقي



شكل (7) يمثل قيم ($\ln X_m$) مقابل ($1/T$) لامترار صبغة الاخضر السريع على سطح نخالة الرز

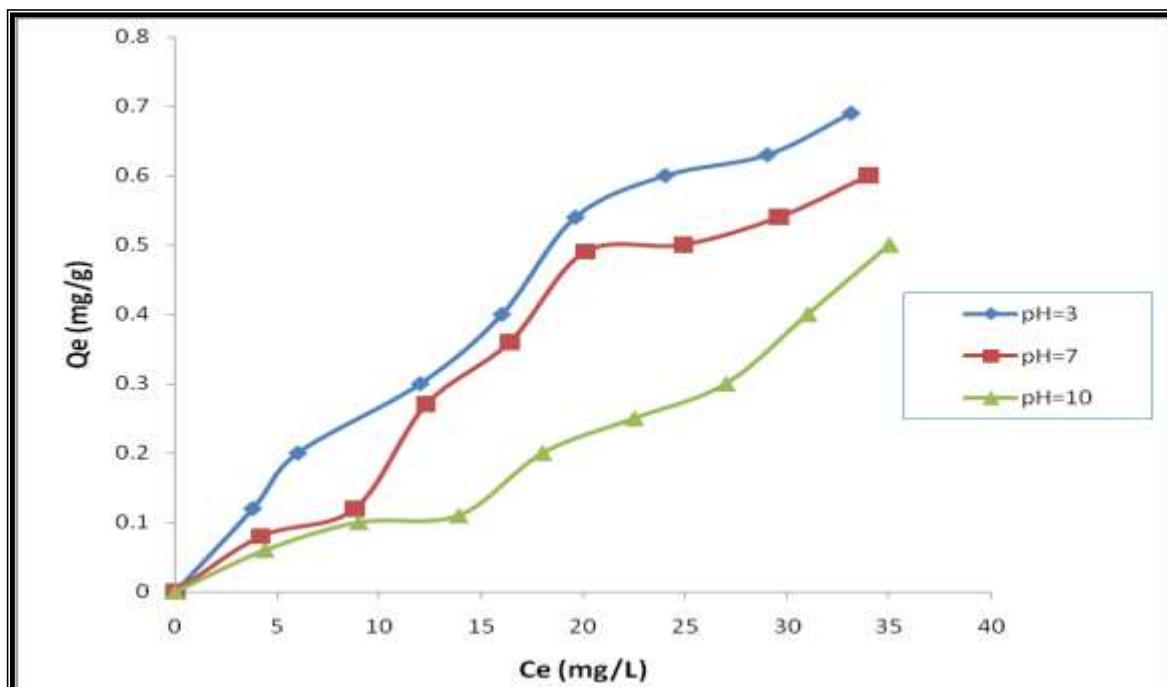
ولبيان تأثير PH المحلول في امترار الصبغة على سطح نخالة الرز والسيليلوز النقي استعملت دوال حامضية مختلفة (PH=3,7,10) وبيّنت النتائج إن كمية امترار الصبغة لسطح نخالة الرز تزداد بارتفاع الدالة الحامضية عند (PH=10) وبانخفاض الدالة الحامضية (PH=3) والاكثر زيادة عند انخفاض الدالة الحامضية عند (PH=7) اما سطح السيليلوز النقي تقل كمية الامترار بارتفاع الدالة الحامضية (PH=10) وتزداد بانخفاض الدالة الحامضية. الشكل(7,8). أي يصبح تسلسل كمية الامترار لسطح نخالة الرز:

$\text{PH}=3 > 10 > 7$

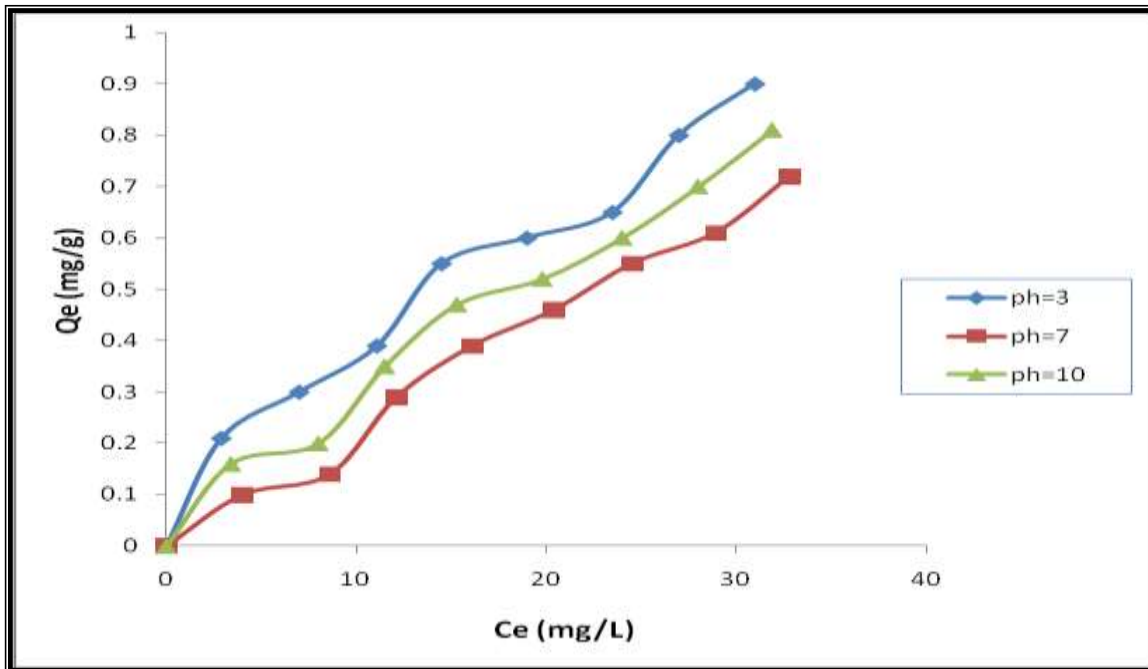
ولسطح السيليلوز النقي يكون التسلسل كالاتي:

$\text{PH}=3 > 7 > 10$

ويوضح من هذا أن اثر الدالة الحامضية يعود للتدخلات المعقدة بين جزيئات الصبغة وموقع السطح الفعالة اذ ان السطح متعادل الشحنة في الوسط المتعادل (37,38) إضافة إلى التأثيرات الحاصلة بين المذيب والمذاب أي بين السطح والمادة الممتزرة عليه أي تزداد قوة التجاذب الاlectتروستاتيكي وقوى فاندرفالز والأوامر الهيدروجينية بين كلا السطحين وجزيئات الصبغة إضافة إلى التدخلات المحبة للماء واحتمال حدوث أو اصر تساهمية قوية (35)



شكل (8) ايزوثيرمات امترار صبغة Fast Green على سطح السيليلوز النقي عند درجات حامضية مختلفة ودرجة حرارة K 298



شكل (9) ايزوثيرمات امتراز صبغة Fast Green على سطح خالة الرز عند درجات حامضية مختلفة ودرجة حرارة K 298.

الاستنتاجات :

إن خالة الرز والسيليلوز النقي الذي يعتبر المكون الرئيسي لها بما من السطوح الفعالة جداً لامتراز الأصباغ القاعدية والحامضية وخاصة الصبغة موضوع الدراسة. إذ تبين أن الامتراز باعث للحرارة وغير ثقائي من قيم الانثالبي والتغير في الطاقة الحرية. أي أن عمليات الامتراز تقل بازدياد درجات الحرارة وتزداد بزيادة الدالة الحامضية بالنسبة لسطح خالة الرز وتقل بالنسبة لسطح السيليلوز النقي ، وبهذا يمكن أن نستنتج من نتائج الدراسة الحالية بأن عملية الامتراز لصبغة الأخضر السريع على سطح خالة الرز أكثر من امترازها على سطح السيليلوز النقي، وقد تستعمل هذه السطوح عملياً بفعالية عالية وبصورة مباشرة لإزالة الصبغة من أوساطها المائية .

References:

1. N.M.K. Almusawi;M.Sc. Thesis,Univeresity of kufa (2013).
2. J.K.Algidsawi;((A study of ability of adsorption of some dyes on activated carbon dat's stones))Asustralian J.of Basic and Applied sciences,5(11):1397-1403,(2011).
3. F.K.Ayad,G.M.Khawlaa and M.K.Aseal ; J.Bablon Univ.,31,455- 465(2008)
4. A.Pala, E.T.and H.Erkaya ; Bucharest ;Romania , 144,(2003).
5. A.R.Zimmer Man , K.Wgoyne, J.Chorover, S.Komarneni and S.L. Barantley , Org . Geo. Chem .,35 ,355(2004).
6. R.Donat, A.Akdogan, E.Erdem and H.Cetisli; Thermodynamics of Pb^{+2} and Ni^{+2} adsorption onto natural bentonite from aqueous solutions. J Colloid Interface; 286(1):43-52. (2005).
7. A.Obut and I. Girigin ; Yerbilimleri , 25, 1(2002).
8. Kumar, M. N. V. R. ; React . Funct . Polym ., 46(1): 1-27.(2000).
9. A.Özer, D. Özer and A.Özer, The adsorption of copper (II) ions on to dehydrated wheat bran (DWB): Determination of the equilibrium and thermodynamic, (2004).
10. Annadurai , G.R.S.Jang and D.J.Lee ; J.Hazard . Mater ., 92 , 263(2002).
11. A.Adachi, S.Takagi and T.Okano; Studies on Removal Efficiency of Rice Bran for Pesticides. *Journal of Health Science*, 47(2): 94–98. (2001).
12. N. Reddy and Y. Yang ; Green chem.. , 7(4):190-195. (2005).
13. R. F.Shone and G.S. Mayer, Anel .Chem.,5.1164,(1982).
14. C.kaewprasit,E.Hequet,N.Abidi and J.P.Gourlot;J.Cotton Science.,2,167(1998).
15. Online Ed. For Students of org. Lab. Courses at the Univ.of Colorado, Dept. of Chem. and Biochem. , 25 (2004).

16. G.Rytwo, D. Tropp and C. serban; Applied clay Science, 20,273.(2010)
17. S.I.Ofoefule and J.M.Okonta; Adsorption studies of Ciprofloxacin evaluation of magnesium trisilicate, kaolin, and starch as alternatives for the management of ciprofloxacin poisoning. Boll.chem. farmaceutico:138:6:239-242.(1999).
18. K. Yamada and K. Haraguchi(center of applied research, University of Kentucky, 116,(2003) .
19. L.Markorska,V.Meshko,V.Noveski and M.Marinkovski,J.Serb Chem.Soc., 66(7),463 (2001).
20. U.Abdo, S.Nosier and Y.Eltawil;J.Environ.Sci.Health,32,1159,(1997).
21. Z.Bouberka, S.Kacha, M.Kameche, S.Elmaleh and Z.Derriche; Sorption study of an acid dye from an aqueous solutions using modified clays. J Hazard Mater.;119 (1-3):117-124. (2005).
22. A.Mittal; Adsorption kinetics of removal of a toxic dye, Malachite Green, from wastewater by using a Hen feathers. J Hazard Mater; 133(1-3):196-202. (2005).
23. A.Adachi, C.Ikeda, S.Takagi, N.Fukao, E.Yoshie and T.Okano; Efficiency of rice *bran* for removal of organochlorine compounds and benzene from industrial wastewater. J-Agric-Food-Chem.; 49(3): 1309-1314, (2001).
24. T.M.Refah ;(Removal of neutral red dye from Aqueous Solution by Adsorption onto Rice Bran) ,Dept. of Chem,National Journal of chemistry, vol.31 ,IRAQ , (2008).
25. J.Kolberg; Monoclonal antibodies against rice *bran* lectin. Biol-Chem-Hoppe-Seyler.; 373(2): 77-80(1992).
26. S.Ogawa; Chemical components of rice *bran*: myo-inositol and related compounds: a review. Anticancer-Res.; 19(5A): 3635-3644.(1999)
27. LR.Ferguson and PJ.Harris; (Studies on the role of specific dietary fibers in protection against colorectal cancer). Mutat-Res.; 350(1): 173-184. (1996).
28. M.Maekawa,K.Murakami and H.Yoshida ; Ame .Chem.Soc.,124, 10801 (1996) .
29. Yu.Xiaochum and H.A.Rajai; Powder Tech., 98 ,135(1998).
30. A.Adachi,S.Takagi,T.Komiyama,T.Tanaka, M.Nakatani,R.Muguruma and T.Okano;Removal efficiency and mechanism of organochlorine compounds by rice bran.J.Health Sci.,45,24. (1999).
31. C.H.Giles, T.H. MacEwans, S.N. Nakhwa and D. Smith;(Studies in adsorption. PartXI: A system of classification of solution adsorption isotherms, and its use in diagnosis of adsorption mechanisms and in measurement of specific surface areas of solids). J.Chem.Soc.: 786: 3973-3993.(1960).
32. J.J.Kipling;(Adsorption from solution of non-electrolytes) Academic Press, London, New York,152(1965).
33. J.S.D.C.Waters;66,609-613.(1950).
34. Z.M.Abed Al-Khudhiry ; M.Sc.Thesis ,University of Baghdad (2000).
35. M.Aessa ;M.SC.Thesis,University of Damascus (2005).
36. M. Safarikova, L. Ptackova, I. Kibrikova and I. Safarik; Chemosphere; 59,831,(2005).
37. S.Richard Blackburn and M.Stephen Bur Kin shaw ;Green Chem .,4(1),47 (2002).
38. S.Richard Blackburn and M.Stephen Bur Kin shaw;Green Chem.,4(3),261 (2002).